

## ПРИМЕНЕНИЕ МЕТОДА КОМПЛЕКСИРОВАНИЯ ДЛЯ РЕШЕНИЯ СМЕШАННЫХ ЗАДАЧ ТЕОРИИ УПРУГОСТИ

Метод комплексирования, предложенный в [1], используется, как правило, для решения динамических задач теории упругости. Суть его заключается в разложении смещений в ряд по переменным  $x_i$  (одной или двум, причем на поверхностях  $x_i = \text{const}$  не задаются граничные условия) и сведении исходной системы уравнений динамики к серии одномерных волновых уравнений, которые решаются численно. При этом граничные условия и условия «склейки» между слоями (если они есть) должны быть однородными.

В данной работе предложен способ, позволяющий решать смешанные задачи.

Пусть в системе координат, допускающей разделение переменных в уравнениях Ляме (для определенности выбран двумерный случай),

$$(1) \quad \mu \Delta \mathbf{V} + (\lambda + \mu) \nabla \nabla \cdot \mathbf{V} = \rho \ddot{\mathbf{V}}, \quad \mathbf{V} = (u, w)$$

( $u, w$  — смещения по  $x_1, x_2$ ,  $\lambda, \mu$  — параметры Ляме,  $\rho$  — плотность) на координатной поверхности  $x_2 = \text{const}$  заданы условия равновесия

$$(2) \quad \sigma_{12} = \bar{\sigma}_{12}, \quad \sigma_{22} = \bar{\sigma}_{22}$$

( $\{\sigma_{ij}\}$  — тензор напряжений, черта над величинами — значение по другую сторону границы) и условия

$$(3) \quad \sigma(u, \bar{u}, w, \bar{w}, \sigma_{ij}) = 0, \quad \tau(u, \bar{u}, w, \bar{w}, \sigma_{ij}) = 0.$$

Набор функций  $\sigma, \tau$ , имеющих физический смысл, невелик.

### 1. Жесткий контакт

$$\sigma = w - \bar{w}, \quad \tau = u - \bar{u}.$$

### 2. Контакт с разрывом смещений

$$\sigma = \sigma_{22} - P(w - \bar{w}), \quad \tau = \sigma_{12} - T(u - \bar{u}, \sigma_{22})$$

или дилатансией

$$\sigma = \sigma_{22} - D(u - \bar{u}), \quad \tau = \sigma_{12} - T(u - \bar{u}, \sigma_{22}),$$

где функции  $P, T, D$ , вообще говоря, нелинейны [2].

### 3. Свободные поверхности

$$\sigma = \sigma_{22}, \quad \tau = \sigma_{12}.$$

Выберем простейший случай — комбинацию 1 и 3: на части поверхности  $X$  ( $x_2 = x_2^0 = \text{const}$ ) границы жестко скреплены, на остальной  $\bar{X}$  свободны. Введем дискретизацию по  $x_2$  с шагом  $h$  и запишем указанные условия и (2) с учетом закона Гука в виде

$$\begin{aligned} \mu \left( \frac{u - u_*}{h} + \frac{\partial w}{\partial x_1} \right) &= \bar{\mu} \left( \frac{\bar{u}_* - \bar{u}}{h} + \frac{\partial \bar{w}}{\partial x_1} \right), \quad u = \bar{u}, \\ \alpha \frac{w - w_*}{h} + \lambda \frac{\partial u}{\partial x_1} &= \bar{\alpha} \frac{\bar{w}_* - \bar{w}}{h} + \bar{\lambda} \frac{\partial \bar{u}}{\partial x_1}, \quad w = \bar{w} \text{ при } x_1 \in X; \\ \mu \left( \frac{u - u_*}{h} + \frac{\partial w}{\partial x_1} \right) &= \bar{\mu} \left( \frac{\bar{u}_* - \bar{u}}{h} + \frac{\partial \bar{w}}{\partial x_1} \right) = 0, \\ \alpha \frac{w - w_*}{h} + \lambda \frac{\partial u}{\partial x_1} &= \bar{\alpha} \frac{\bar{w}_* - \bar{w}}{h} + \bar{\lambda} \frac{\partial \bar{u}}{\partial x_1} = 0 \text{ при } x_1 \in \bar{X}; \\ u_* &= u(x_1, x_2 - h), \quad \bar{u}_* = \bar{u}(x_1, x_2 + h), \quad \alpha = \lambda + 2\mu, \end{aligned}$$

откуда при  $x_1 \in X$

$$(4) \quad \begin{aligned} u &= \bar{u} = bu_* + \bar{b}\bar{u}_* + h(\bar{b} - b) \frac{\partial w}{\partial x_1}, \\ w &= \bar{w} = aw_* + \bar{a}\bar{w}_* + h \frac{\bar{\lambda} - \lambda}{\bar{\alpha} + \alpha} \frac{\partial u}{\partial x_1}, \\ b &= \mu/(\bar{\mu} + \mu), \quad \bar{b} = 1 - b, \quad a = \alpha/(\bar{\alpha} + \alpha), \quad \bar{a} = 1 - a, \end{aligned}$$

а при  $x_1 \in \bar{X}$

$$(4)' \quad \begin{aligned} u &= \bar{u}_* - h \frac{\partial w}{\partial x_1}, \quad w = w_* - \delta h \frac{\partial u}{\partial x_1}, \\ \bar{u} &= \bar{u}_* + h \frac{\partial \bar{w}}{\partial x_1}, \quad \bar{w} = \bar{w}_* + \bar{\delta} h \frac{\partial \bar{u}}{\partial x_1}, \quad \delta = \lambda/\alpha, \quad \bar{\delta} = \bar{\lambda}/\bar{\alpha}. \end{aligned}$$

Пусть

$$(5) \quad u = \sum_{n=0}^N U^n(x_2) S_n(x_1), \quad w = \sum_{n=0}^N W^n(x_2) C_n(x_1)$$

( $\{S_n, C_n\}$  — полная система функций).

Для декартовой системы координат ( $x_1 = x, x_2 = y$ )

$$\{S_n(x), C_n(x)\} = \{\sin k_n x, \cos k_n x\}, \quad k_n = \pi n/A$$

( $x = A$  — фиктивная граница [1]),

для цилиндрической ( $x_1 = \theta, x_2 = r, A = \pi$ )

$$\{S_n(\theta), C_n(\theta)\} = \{\sin n\theta, \cos n\theta\}$$

( $x_1 = r, x_2 = z$ ),  $S_n(r) = J_1(k_n r), C_n(r) = J_0(k_n r)$  (в последнем случае  $k_n$  — корни уравнения  $J_1(k_n A) = 0$ ,  $J_0, J_1$  — функции Бесселя),

для сферической ( $x_1 = \varphi, x_2 = R, A = \pi$ )

$$S_n(\varphi) = P_n^1(\cos \varphi), \quad C_n(\varphi) = P_n^0(\cos \varphi)$$

( $P_n^0, P_n^1$  — полиномы Лежандра).

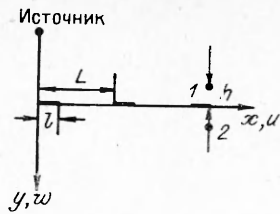
Применим теперь к первым соотношениям (4) и (4)' операцию  $\int_0^A \dots S_n(x_1) dx_1$ , а ко вторым —  $\int_0^A \dots C_n(x_1) dx_1$  (используя при необходимости весовые функции) и после некоторых преобразований получим систему линейных уравнений для  $U^n, W^n, \bar{U}^n, \bar{W}^n$ :

$$(6) \quad \begin{aligned} U^m &= U_*^m - p_m W^m + \bar{b} \sum_{n=0}^N (Q_*^n + 2p_n W^n) A_{mn}, \\ W^m &= W_*^m - \delta p_m U^m + \bar{a} \sum_{n=0}^N (T_*^n + c p_n U^n) B_{mn}, \\ \bar{U}^m &= \bar{U}_*^m + p_m \bar{W}^m - b \sum_{n=0}^N (Q_*^n + 2p_n \bar{W}^n) A_{mn}, \\ \bar{W}^m &= \bar{W}_*^m + \bar{\delta} p_m \bar{U}^m - a \sum_{n=0}^N (T_*^n + c p_n \bar{U}^n) B_{mn}, \end{aligned}$$

$$Q_*^n = \bar{U}_*^n - U_*^n, \quad T_*^n = \bar{W}_*^n - W_*^n, \quad c = \delta + \bar{\delta}, \quad m = 0, \dots, N, \quad p_n = h k_n,$$

$$A_{mn} = \int_0^A g(x_1) S_m(x_1) S_n(x_1) dx_1, \quad B_{mn} = \int_0^A g(x_1) C_m(x_1) C_n(x_1) dx_1,$$

$$g(x_1) = \begin{cases} 1 & x_1 \in X, \\ 0 & x_1 \in \bar{X}. \end{cases}$$



Р и с. 1

Предельные случаи:  $A_{mn} = B_{mn} = 0$  — свободные поверхности,  $A_{mn} = B_{mn} = \delta_{mn}$  — жесткий контакт. Решение (6) трудностей не вызывает.

Если условия (3) нелинейны, то для определения смещений на  $x_2 = x_2^0$  необходимо организовывать итерационный процесс на каждом временном шаге.

С помощью предложенного подхода рассмотрим две задачи.

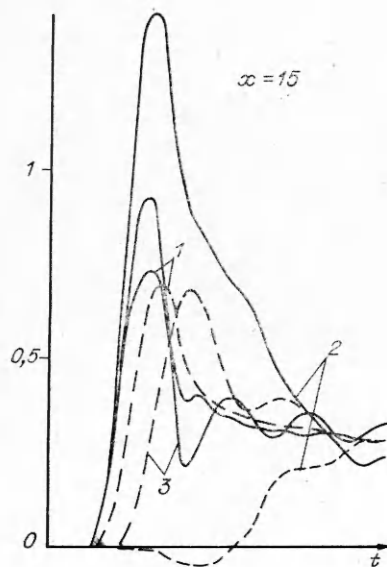
1. Качественный контроль состояния межблочного контакта.

В ряде работ (например, [3]) показано, что контакт двух блоков горных пород осуществляется не по всей поверхности, а лишь по незначительной ее части. Причем с увеличением нормального сжимающего напряжения  $\sigma_n$  площадь контакта (суммарная площадь «пятен») увеличивается. Принимая во внимание, что касательная прочность контакта  $\tau_* = |\sigma_n| \operatorname{tg} \psi_* + \tau_0$  ( $\psi_*$  — «угол внутреннего трения»,  $\tau_0$  — сцепление) и при превышении  $\tau_*$  возможно динамическое явление (высвобождение запасенной энергии), можно по характеру изменения  $\sigma_n$  судить о тенденции поведения межблочного контакта и, если наблюдение организовано на нескольких нарушениях, участка массива в целом.

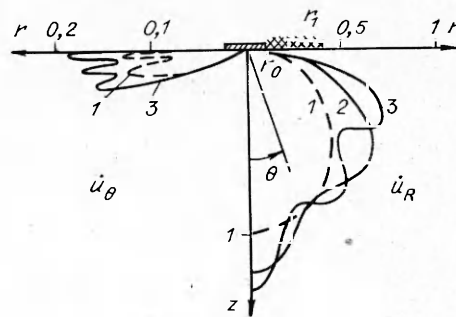
Итак, пусть импульсный точечный источник типа расширения — сжатие расположен в окрестности нарушения, причем берега последнего контактируют по некоторым участкам (рис. 1). По обеим сторонам нарушения на расстоянии  $h$  от него вертикально установлены однонаправленные датчики смещений. Источник генерирует волну, длина которой  $\Lambda$  много больше размера участков контакта  $l$ . Выше рассмотрен именно такой случай.

Результаты расчетов представлены на рис. 2. Смещения в верхней точке наблюдения — сплошные линии, в нижней — штриховые. За единицу выбрана максимальная амплитуда вертикального смещения в прямой волне в точке  $(0, 0)$ , линии 1—3 отвечают  $\zeta = L/l = \infty, 10, 2$  ( $\zeta = \infty$  — жесткий контакт). Сигнал, излучаемый источником, — один период синусоиды. Здесь четко видно, что с уменьшением площади контакта происходит рост амплитуды первого вступления в точке 1 и падение в точке 2 (рис. 1). С течением времени эта разница значительно уменьшается. Превышение единицы амплитудой в верхней точке происходит из-за наличия свободных участков (известно, что на свободной поверхности смещения на фронте волны удваиваются).

Заметим, что точки наблюдения должны быть расположены на расстоянии, меньшем  $\Lambda$ , от линии контактов. В противном случае вся полезная информация пропадает вследствие наложения волн. Предложенная схема легко реализуема на прак-



Р и с. 2



Р и с. 3

тике и может дать возможность качественного контроля текущего состояния нарушения. Информационным параметром служит отношение амплитуд первого вступления в точках 1 и 2.

Для получения количественных оценок необходимы экспериментальные исследования связи между нормальными усилиями и площадью контакта (типа задачи Герца).

2. *Способ усиления сигнала виброисточника.* Известно [4], что при работе поверхностного виброисточника продольные волны «уносят» всего от 7 до 15 % энергии. Рассмотрим один из способов усиления сигнала в продольном направлении: часть поверхности вокруг источника искусственно «закрывают» в вертикальном направлении. Не вдаваясь в технические подробности, выпишем граничные условия на поверхности  $x_2 = 0$  (рис. 3):

$$\sigma_{yy} = \begin{cases} -F(t) & x_1 \leq r_0, \\ 0 & x_1 > r_1, \end{cases} \quad w = 0 \quad r_0 < x_1 \leq r_1, \quad \tau = 0.$$

Здесь  $F(t) = \sin \omega t \varepsilon(t)$ ;  $\varepsilon$  — функция Хевисайда;  $\omega = 2\pi f$ ;  $f$  — частота;  $r_0$  и  $r_1$  — размеры источника и «закрой» области. Задача решается в цилиндрической системе координат.

Согласно подходу, изложенному выше, сразу выпишем соотношения

$$\sum_{i=0}^N T_{mi} W^i = W_0^m, \quad U^m = U_*^m - p_m W^m, \quad m = 0, \dots, N,$$

$$T_{mi} = (1 + \delta p_m^2) \delta_{mi} - \delta p_i^2 C_{mi},$$

$$W_0^m = \bar{W}_*^m + \delta p_m U_*^m + Q_m - W_*^0 C_{m0} - \sum_{i=1}^N (W_*^i + \delta p_i U_*^i) C_{mi},$$

$$C_{mi} = \int_0^A g(x_1) x_1 J_0(k_m x_1) J_0(k_i x_1) dx_1,$$

$$Q_m = 2F(t) J_1(k_m r_0) / (k_m J_0^2(k_m A)),$$

$$g(x_1) = \begin{cases} 1 & \text{при } r_0 < x_1 \leq r_1, \\ 0 & \text{при } 0 \leq x_1 \leq r_0, \quad r_1 < x_1. \end{cases}$$

Расчеты проводились при следующих значениях безразмерных параметров:  $\eta = 0,033$ ,  $\gamma = 0,3$  ( $\eta = \dot{r}_0/V_p$ ,  $\gamma = V_s/V_p$ ,  $V_p$  и  $V_s$  — скорости продольных и поперечных волн).

На рис. 3 приведены угловые диаграммы радиальных и тангенциальных скоростей смещений (за единицу выбрано максимальное значение  $u_R$  при  $\xi = 0$ ,  $\xi = r_1/r_0 - 1$ )  $u_R = u \sin \theta + w \cos \theta$ ,  $u_\theta = u \cos \theta - w \sin \theta$  для  $\xi = 0$ ; 4; 9 (линии 1—3). Их анализ позволяет сделать вывод о положительном эффекте «закрания» поверхности. В зависимости от значений  $\xi$ ,  $\eta$ ,  $\gamma$  амплитуда радиальных скоростей может увеличиваться на 30% и более. С уменьшением  $\gamma$  улучшается фокусировка в вертикальном направлении и сильнее подавляется компонента  $u_\theta$ .

В заключение отметим, что предложенный подход непригоден для изучения «тонких» эффектов, таких как анализ концентрации напряжений в особых точках (например, в задаче 2  $x_2 = r_0$ , здесь используется метод факторизации [5]), из-за того, что нужно выбирать конечным верхний предел суммирования в (5). Он эффективен для интегральной оценки параметров процесса.

#### ЛИТЕРАТУРА

1. Михайленко Б. Г. Нестационарные сейсмические поля в неоднородных средах (численное исследование динамики волн): Автореф. дис. ... д-ра физ.-мат. наук. — Новосибирск, 1982.
2. Ревуженко А. Ф. Вариационные постановки краевых задач разрушения // ПМТФ. — 1980. — № 4.

3. Brown S. R., Scholz C. H. Closure of random elastic surfaces in contact // J. Geophys. Res.— 1985.— V. 90, N B7.
4. Гринченко В. Т., Мелешко В. В. Гармонические колебания и волны в упругих телах.— Киев: Наук. думка, 1981.
5. Партон В. З., Перлин П. И. Методы математической теории упругости.— М.: Наука, 1981.

г. Новосибирск

Поступила 12/VII 1991 г.

УДК 539.3

*Н. И. Александрова, И. В. Ефимова*

## ДЕЙСТВИЕ ПЛОСКОЙ АКУСТИЧЕСКОЙ ВОЛНЫ ДАВЛЕНИЯ НА ПОДКРЕПЛЕННУЮ ЦИЛИНДРИЧЕСКУЮ ОБОЛОЧКУ

Исследование прочности подкреплённых оболочек при импульсных нагрузках необходимо для определения пределов применимости различных конструкций в машиностроении и строительстве. Этим объясняется большое число публикаций по разработке теории и методов расчета ребристых оболочек (см. обзор [1]). При нестационарном воздействии влияние ребер жесткости на напряженно-деформированное состояние и кинематику полых цилиндрических оболочек, погруженных в жидкость, рассматривалось в [2—4]. Основное внимание в [2] уделено изучению цепных напряжений в центральном сечении при действии плоской волны. В [3] исследуются радиальные перемещения при осесимметричной нагрузке в середине шпации. В [4] взаимодействие жидкости с оболочкой учитывалось по гипотезе плоского отражения. Поведение изгибных напряжений в подкреплённых оболочках практически не изучено.

В данной работе оцениваются изгибные и цепные напряжения и смещения периодически подкреплённых оболочек при траверзном воздействии плоской ступенчатой волны давления. Численное решение поставленной задачи получено при помощи разложения в ряд Фурье по угловой координате и конечных разностей по остальным координатам. Проведено сравнение численных и аналитических результатов. Определены коэффициент динамичности и время, начиная с которого эти результаты совпадают.

1. Исследуется нестационарное воздействие плоской ступенчатой волны давления на бесконечно длинную тонкую упругую цилиндрическую оболочку, периодически подкреплённую переборками и помещённую в идеальную сжимаемую жидкость. Оболочка либо полая, либо заполнена той же жидкостью, что и снаружи. Фронт падающей волны параллелен оси оболочки. Движение оболочки описывается линейными уравнениями классической теории Кирхгофа — Лява, возмущения в жидкости — волновым уравнением для потенциала скорости. Уравнения движения для  $m$ -й формы колебаний по углу  $\theta$  имеют вид

$$\begin{aligned}
 (1.1) \quad & \frac{1}{c^2} \frac{\partial^2 u_m}{\partial t^2} = \frac{\partial^2 u_m}{\partial x^2} - \frac{1-\nu}{2} \frac{m^2}{R^2} u_m + \frac{1+\nu}{2} \frac{m}{R} \frac{\partial v_m}{\partial x} + \frac{\nu}{R} \frac{\partial w_m}{\partial x}, \\
 & \frac{1}{c^2} \frac{\partial^2 v_m}{\partial t^2} - \frac{1-\nu}{2} \frac{\partial^2 v_m}{\partial x^2} - \frac{1+\nu}{2} \frac{m}{R} \frac{\partial u_m}{\partial x} - \frac{m^2}{R^2} v_m - \frac{m}{R^2} w_m + \\
 & + \frac{\delta^2}{12R^2} \left\{ 2(1-\nu) \frac{\partial^2 v_m}{\partial x^2} - \frac{m^2}{R^2} v_m - \frac{m^3}{R^2} w_m + (2-\nu) m \frac{\partial^2 w_{r1}}{\partial x^2} \right\}, \\
 & \frac{1}{c^2} \frac{\partial^3 w_m}{\partial t^2} - \frac{\nu}{R} \frac{\partial u_m}{\partial x} - \frac{m}{R^2} v_m - \frac{w_m}{R^2} - \frac{\delta^2}{12} \left[ \frac{\partial^4 w_m}{\partial x^4} - \frac{2m^2}{R^2} \frac{\partial^2 w_m}{\partial x^2} + \right. \\
 & \left. + \frac{m^4}{R^4} w_m - \frac{m}{R^2} (2-\nu) \frac{\partial^2 v_m}{\partial x^2} + \frac{m^3}{R^4} v_m \right] - \frac{P_{\Sigma, m}}{\rho \delta c^2},
 \end{aligned}$$